

Crystals and Vertex Models

神戸大・自然科學 中屋敷 厚
(Nakayashiki Atsushi)

以下は、次の方々との共同研究[1,2]の解説です。

S-J Kang, 柏原正樹, K.C. Misra, 三輪哲二, 中島俊樹 各氏。

我々は、crystalの理論を使って、ある種類の2次元格子模型(vertex models)の1点関数が、アフィンリー環の指標を使って書き表せる。という結果を得たのであるが、証明のKeyホイントは、次の点である。

- (1). $B(\lambda) \otimes B \cong B(\mu)$ の型の crystal の同型を通して、crystal with highest weight と "path" との全単射を作る。
- (2). R-matrix から $q \rightarrow 0$ の極限をとて、H-関数を得るプロセスを crystal を使って厳密に意味づける。
- (3). (1)の同型を通して定義した path の weight を H-関数を使、て表わす。

ただし、ここで1点関数と "paths" を結び付ける所で、Baxterによる Corner transfer matrix method (CTMM) を使います。最近

6-vertex model ($\hat{\mathfrak{sl}}_2$, level 1 に対応する)については、CTMM を経由せず、上の結果を証明することに成功しました。それについては、神保氏の講演録およびその参考文献を参照して下さい。

以上的一般論については、文献[1]を参照して下さい。次に、(1)の具体例を示すことにとどめます。

§0 Basic definitions

\mathfrak{g} を affine Lie algebra, P を \mathfrak{g} の weight lattice, δ を null root, $P_\alpha = P/\alpha$ とおく。又、 I を \mathfrak{g} の simple roots の index set とする。

Definition. B を crystal とは

- (a) B は集合であり、 $B = \bigsqcup_{\lambda \in P} B_\lambda$ なる分解を持つ。
- (b) 対応 $\tilde{e}_i, \tilde{f}_i : B^{\{0\}} \rightarrow B^{\{0\}}$ ($i \in I$) で、以下の性質をみたすものが存在する。
 - (1) $\tilde{e}_i 0 = \tilde{f}_i 0 = 0$ ($i \in I$)
 - (2) $\tilde{e}_i B_\lambda \subset B_{\lambda + \alpha_i}$, $\tilde{f}_i B_\lambda \subset B_{\lambda - \alpha_i}$ (α_i は simple roots)
 - (3) $\forall i \in I, \forall b \in B \quad \exists n \quad \text{s.t. } \tilde{e}_i^n b = \tilde{f}_i^n b = 0$
 - (4) $\varphi_i(b) := \max \{n \mid \tilde{f}_i^n b \neq 0\}$, $\varepsilon_i(b) := \max \{n \mid \tilde{e}_i^n b \neq 0\}$ とおく。
 - $b \in B_\lambda \Rightarrow \varphi_i(b) - \varepsilon_i(b) = \langle \rho_i, \lambda \rangle$ (ρ_i は simple coroots)
- (5) $b, b' \in B \quad i \in I$ に対し, $b' = \tilde{f}_i b \Leftrightarrow \tilde{e}_i b' = b$

この定義で、 P を P_α で置き換えたものを classical crystal と呼ぶ。これに対し、上で定義した crystal を affine crystal と呼ぶ。両方合わせて、單に crystal も書くことにする。

Graph structure.

$$b \xrightarrow{i} b' \Leftrightarrow b' = \tilde{f}_i b \quad (i \in I)$$

により crystal B には、colored oriented graph の構造が入る。

Tensor product

B_1, B_2 : crystals

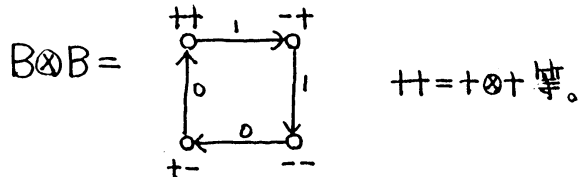
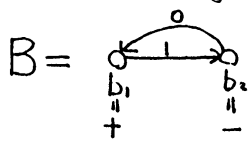
$B_1 \otimes B_2$ は、次により crystal となる

$$\tilde{f}_i(b_1 \otimes b_2) = \begin{cases} \tilde{f}_i b_1 \otimes b_2 & \text{if } \varphi_i(b_1) > \varepsilon_i(b_2) \\ b_1 \otimes \tilde{f}_i b_2 & \text{if } \varphi_i(b_1) \leq \varepsilon_i(b_2) \end{cases}$$

$$\tilde{e}_i(b_1 \otimes b_2) = \begin{cases} \tilde{e}_i b_1 \otimes b_2 & \text{if } \varphi_i(b_1) \geq \varepsilon_i(b_2) \\ b_1 \otimes \tilde{e}_i b_2 & \text{if } \varphi_i(b_1) < \varepsilon_i(b_2). \end{cases}$$

§1 Examples

$\mathfrak{g} = \widehat{\mathfrak{sl}}_2$, $P = \mathbb{Z}\lambda_0 \oplus \mathbb{Z}\lambda_1 \oplus \mathbb{Z}\delta$, $P_\vee \cong \mathbb{Z}\lambda_0 \oplus \mathbb{Z}\lambda_1$, ここで λ_i ($i=0,1$) は fundamental weights,



paths $P(\lambda_i)$ ($i=0,1$) は、次で定義される。

$$P(\lambda_0) = \{ (P(i))_{i=1}^{\infty} \mid P(2i) = +, P(2i+1) = - \quad \forall i \gg 0, \quad P(j) \in B \quad \forall j \}$$

$$P(\lambda_1) = \{ (P(i))_{i=1}^{\infty} \mid P(2i) = -, P(2i+1) = + \quad \forall i \gg 0, \quad P(j) \in B \quad \forall j \}$$

\tilde{e}_i, \tilde{f}_i の $P(\lambda_j)$ への作用は次の規則で与えられる。

(a) \tilde{e}_0, \tilde{f}_0 の作用

$P \in P(\lambda_j)$ とする。以下 P を表示するのに $P = (P(i))_{i=1}^{\infty}$ を右から左へ

書いてゆくものとする。例えは $P = (\cdots + - + - + -)$ は $P(1) = -, P(2) = +$

…など。さて P に対して、次の(i)-(iii)の処理を行なう。

(i) 隣り合う $-+$ の組を消去する。 e.g. $P = \dots + \textcircled{-} + \textcircled{-} + - \textcircled{+} + - \textcircled{-}$

(ii) (i)で消去了した番号はないものとし、e.g.

隣り合う-+の組を消去する。

(iii) (ii)を inductive にくり返す。最後に ex. + -

$\pm \cdots \pm - \cdots -$ の形となる。

(iii) の状態で

$$\tilde{f}_0 + \cdots + \overbrace{- \cdots -}^{} = + \cdots + \overbrace{+ \cdots -}^{} \quad \text{e.g. } \tilde{f}_0 P = \cdots + \overset{10}{-} + \overset{9}{+} - \overset{8}{+} + \overset{7}{-} - \overset{6}{+} + \overset{5}{-} + \overset{4}{+} - \overset{3}{+} + \overset{2}{-} + \overset{1}{+}$$

$$\tilde{e}_0 + \cdots + \left\{ - \cdots - \right. = \left. + \cdots + - \right\} - \cdots - \quad \text{e.g. } \tilde{e}_0 p = \cdots + - + - - - + + - -$$

ここで $\tilde{\cdot}$ は (iii) の状態での + と - の境を表している。

(b) 異音の作用。

(a)で“十”と“一”を入れ換えて全く同じ操作をする。

(iii)に対応する状態で

$$\{ \text{af } - \dots - \} + \dots + = - \dots - \} - + \dots +$$

$$\tilde{e}_1 - \dots - \} + \dots + = - \dots - + \} + \dots +$$

いくつか例を書いてみると

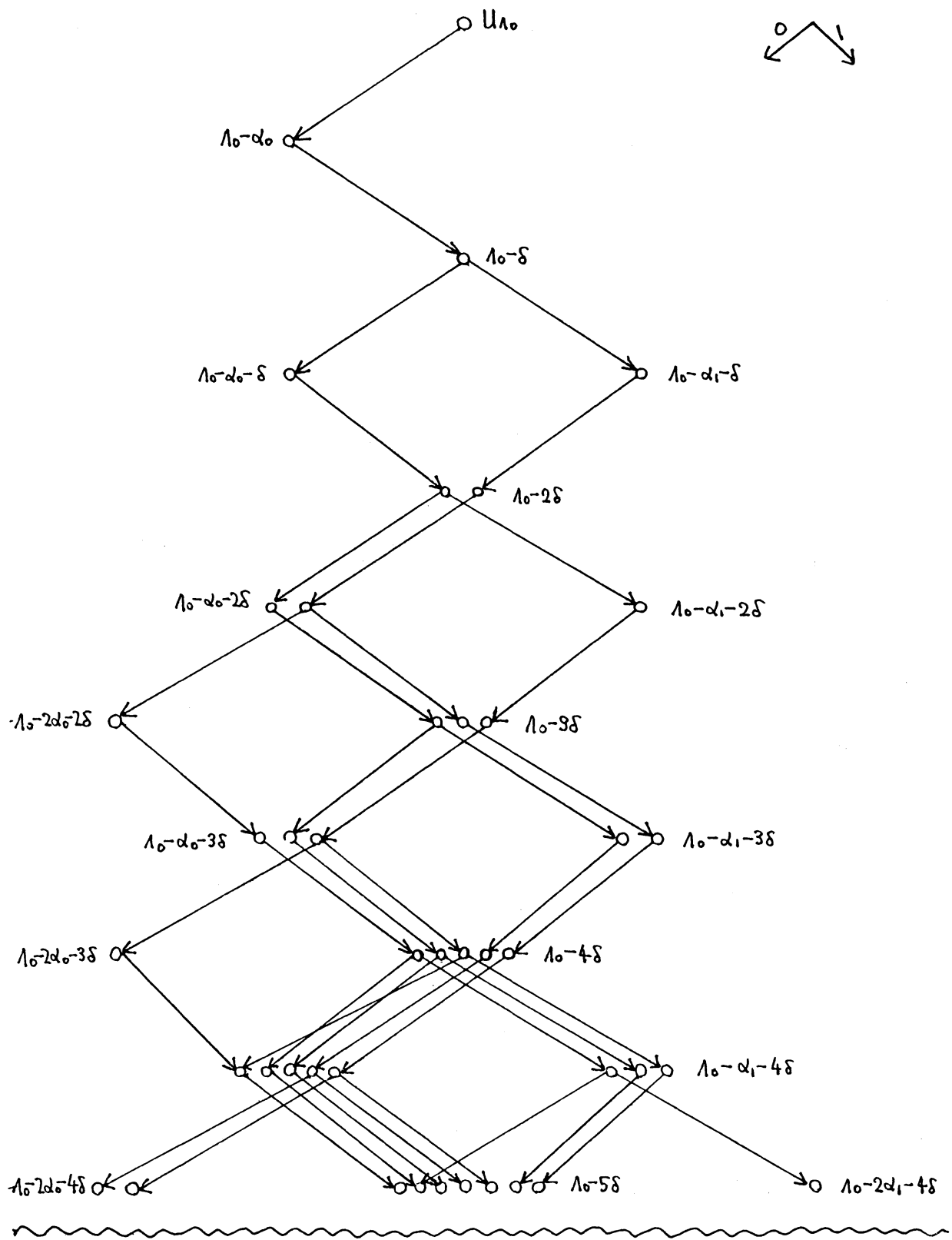
$$U_{10} = (\cdots + - + - + - + -) \in P(1_0)$$

$$\tilde{f}_0 U_{10} = (\cdots + - + - + - + + +) \quad \tilde{f}_0 \tilde{f}_1 \tilde{f}_0 U_{10} = (\cdots - + - + - + + - +)$$

$$\tilde{f}_1^*\tilde{f}_0^*U_{\Lambda_0} = (\cdots - + - + - + - + - +) \quad \tilde{f}_1^*\tilde{f}_0^*\tilde{f}_1^*\tilde{f}_0^*U_{\Lambda_0} = (\cdots - + - + - + - + - +)$$

$$\tilde{f}_i^2 \tilde{f}_0 U_{10} = (\cdots - + - + - + - - -) \quad \tilde{f}_i^2 \tilde{f}_0 \tilde{f}_i \tilde{f}_0 U_{10} = (\cdots - + - + - + - + - -)$$

$P(\lambda_0)$ の crystal graph を書くと、次のようになる。(height 10 の descendant まで)



さて, $(L(\lambda_i), B(\lambda_i))$ を highest weight λ_i の既約 highest weight $U_q(\hat{\mathfrak{sl}}_2)$ -加群の crystal base とする。すると $B(\lambda_i) \cong P(\lambda_i)$ なる affine crystal との同型が成り立つ。ここで, crystal の間の射は, \tilde{e}_i, \tilde{f}_i と可換な写像とし, 同型射とは, この写像が全単射である場合を言う。 $P(\lambda_i)$ につけては, 次の classical crystal との同型が成り立つことは自明であろう。

$$\begin{array}{ccc} P(\lambda_i) \otimes B & \xrightarrow{\sim} & P(\lambda_{i-i}) \\ (\underset{\psi}{\downarrow} P(\lambda)) \otimes \varepsilon & \longmapsto & (\cdots \underset{\psi}{\downarrow} P(\lambda) \varepsilon) \quad \varepsilon = \pm \end{array}$$

paths は, Γ の性質 $P(\lambda_i) \otimes B \cong P(\lambda_{i-i})$ により特徴づけられる。 $B(\lambda_i)$ に対して, これを証明することにより, $B(\lambda_i) \cong P(\lambda_i)$ との間の全単射が得られる。

参考文献

- [1] S-J Kang, M. Kashiwara, K.C. Misra, T. Miwa, T. Nakashima and A. Nakayashiki, Affine Crystals and Vertex Models
RIMS preprint 828
- [2] —, Perfect Crystals of Quantum Affine Lie Algebras,
RIMS preprint 868
- [3] M. Jimbo, K.C. Misra, T. Miwa and M. Okado, Combinatorics of Representations of $U_q(\hat{\mathfrak{sl}}(m))$ at $q=0$, CMP 136 (1991) 543-566